

УДК 536.3+536.42

Учет изотропного рассеяния излучения в однофазной задаче Стефана в среде с полупрозрачными границами*

С.Д. Слепцов

Институт теплофизики им. С.С. Кутателадзе СО РАН, Новосибирск

E-mail: sleptsov@itp.nsc.ru

Методами численного эксперимента решена однофазная задача Стефана для полупрозрачной серой кристаллической среды с учетом изотропного рассеяния в объеме. Показана зависимость альbedo рассеяния излучения от коэффициента отражения границ. Условия протекания фазового перехода, полученные в ходе решения задачи, в зависимости от оптических свойств границ позволяют создавать как эффективные материалы тепловой защиты, так и более совершенные методы плавления полупрозрачных материалов.

Ключевые слова: радиационно-кондуктивный теплообмен, задача Стефана, плавление, альbedo рассеяния, коэффициент отражения.

Введение

Однофазная задача Стефана для слоя полупрозрачной среды моделирует сложные процессы нестационарного радиационно-кондуктивного теплообмена в полупрозрачных футеровках стекловаренных печей и теплозащитных полупрозрачных для теплового излучения покрытиях технических устройств в процессе их оплавления (кристаллизации) и последующего уноса (подвода) при взаимодействии с окружающей средой (абляции, конденсации). При решении подобных прикладных задач помимо поверхностных оптических свойств необходимо учитывать и объемные оптические свойства полупрозрачных тел, такие как рассеяние, селективность, объемный коэффициент поглощения излучения.

В модели серой среды рассеяние излучения обычно не учитывают, например, в работе [1] серая среда заключена между двумя абсолютно поглощающими границами. Авторы варьировали значения объемного коэффициента поглощения, рассматривали радиационно-кондуктивный теплообмен с прозрачными и абсолютно непрозрачными границами, определяли видимость прозрачных границ от угла обзора.

Учет объемных оптических свойств применяют в моделях двухслойной и трехслойной задач, где в одном фиксированном объеме среда находится в конденсированном и расплавленном состояниях. В работах [2, 3] рассматривались рассеивающие среды в приближении серого тела, в последней было установлено нарушение монотонности температурного распределения. В работе [4] немонотонность температуры объяснялась некорректностью применения классической постановки и устранялась применением обобщенной постановки задачи Стефана, учитывающей появление переходной зоны, находящейся в термодинамическом равновесии при температуре плавления. В такой постановке наличие рассеяния излучения имеет место всегда.

* Работа выполнена при финансовой поддержке РФФИ (код проекта 12-08-00154-а).

$|E_i| = E_i(x - \delta) - E_i(x + \delta)$ — перепад значений плотностей потоков результирующего излучения на границах сопряжения слой–среда, где индексы $i = 1, 2$ — соответствуют левой и правой средам (границам слоя-образца), $x \pm \delta$ — координата, бесконечно близко прилегающая к координате x , h_i — коэффициенты теплообмена с внешней средой, T_i — температура окружающей плоский слой среды, γ — скрытая теплота плавления, ρ — плотность среды. Радиационная составляющая $|E_i|$ граничных условий (2) учитывает процессы поглощения и собственного излучения границ образца, следовательно [7],

$$\begin{aligned} E_1 &= A_1 \left[E^-(x + \delta) + \sigma_0 T_1^4 \right] - \varepsilon_1 (1 + n^2) \sigma_0 T^4(x, t), \quad x = 0, \\ E_2 &= A_2 \left[E^+(x - \delta) + E^* \right] - \varepsilon_2 (1 + n^2) \sigma_0 T^4(x, t), \quad x = L(t), \end{aligned} \quad (3)$$

где n — показатель преломления среды.

Предполагается, что наличие фазового перехода на границе 2 не сказывается на оптических свойствах, поэтому ε_i , D_i и ω полагаем неизменными, а во втором уравнении системы (3) $T(x) \equiv T_f$, $x = L(t)$, $t > 0$. При рассмотрении первого этапа радиационно-кондуктивного нагрева образца во втором уравнении для граничных условий (2) $T_f \equiv T(x)$, $x = L_0$, а правая часть этого уравнения приравнивается к нулю. Система уравнений (1)–(3) дополняется начальным условием

$$T(x, 0) = f(x), \quad L(0) = L_0. \quad (4)$$

Радиационные граничные условия, записываемые относительно плотностей потоков эффективного излучения применительно к методу средних потоков, записываются следующим образом [7]:

$$\begin{aligned} E^+(x + \delta) &= D_1 \sigma_0 T_1^4 + \left(1 + \frac{1 - R_1}{n^2} \right) E^-(x + \delta), \quad x = 0, \\ E^-(x - \delta) &= \varepsilon_2 n^2 \sigma_0 T^4(x, t) + D_2 E^* + \left[1 - \frac{1 - R_2}{n^2} - A_2 \left(\frac{1 + n^2}{n^2} \right) \right] E^+(x - \delta), \quad x = L(t). \end{aligned} \quad (5)$$

Здесь принято во внимание, что условие баланса $A_i + R_i + D_i = 1$, записываемое для оптических свойств границ при внешнем (со стороны среды) облучении, выполняется и для условий внутреннего облучения границ, $A'_i + R'_i + D'_i = 1$. При этом в условиях квазиравновесного состояния излучающей системы можно полагать $A_i = A'_i$, а между D_i и D'_i использовать связь, вытекающую из условий оптической инвариантности потоков [7]:

$$(1 - R'_2 - A'_2) n^2 = (1 - R_2 - A_2) n_0^2, \quad n_0 = 1. \quad (6)$$

Преобразование краевой задачи (1)–(4) к безразмерному виду связано с привлечением лагранжевых преобразований $\xi = x/L(t)$ [1]. Такая переменная позволяет фиксировать координату фронта фазового перехода в границах $0 \leq \xi \leq 1$, при этом сам фронт становится плоскопараллельным (метод выпрямления фронтов). Система уравнений (1), (2) и (4), с учетом (3) преобразуется к следующей рассматриваемой краевой задаче:

$$\frac{\partial \theta(\xi, \eta)}{\partial \eta} = \xi \frac{\dot{s}}{s} \frac{\partial \theta(\xi, \eta)}{\partial \xi} + \frac{1}{s^2} \frac{\partial^2 \theta(\xi, \eta)}{\partial \xi^2} - \frac{1}{sN} \frac{\partial \Phi(\xi, \eta)}{\partial \xi}, \quad 0 \leq \xi \leq 1, \quad (7)$$

$$-\frac{\partial\theta(0,\eta)}{\partial\xi} + s\text{Bi}_1(\theta(0,\eta) - \theta_1) + \frac{s}{N} \left[A_1 \left(\Phi^- + \frac{\theta_1^4}{4} \right) - \varepsilon_1 (1+n^2) \frac{\theta^4(0,\eta)}{4} \right] = 0, \quad (8)$$

$$\frac{\partial\theta(1,\eta)}{\partial\xi} + s\text{Bi}_2(\theta_2 - \theta(1,\eta)) - \frac{s}{N} \left[A_2 (\Phi^+ (1,\eta) + F^*) - \varepsilon_2 (1+n^2) \frac{\theta^4(1,\eta)}{4} \right] = \frac{s\dot{s}}{\text{St}}, \quad (9)$$

$$\theta(\xi, 0) = f(\xi), \quad s(0) = 1, \quad \theta(1, \eta) = 1. \quad (10)$$

Здесь $\theta = T/T_f$, $\xi = x/L(t)$, $s(\eta) = L(t)/L_0$, $\eta = \lambda t / (\rho c_p L_0^2)$ — безразмерное время, $N = \lambda / (4\sigma_0 T_f^3 L_0)$ — радиационно-кондуктивный параметр, $\Phi^\pm(\xi, \eta) = E^\pm(x, t) / (4\sigma_0 T_f^4)$ — безразмерная плотность потока излучения, $F^* = E^* / (4\sigma_0 T_f^4)$ — безразмерная плотность потока излучения, падающего на пластину с правой стороны, $\text{Bi}_i = h_i L_0 / \lambda$ — число Био, $\dot{s} = ds/d\eta$ — скорость распространения фронта плавления, $\text{St} = T_f c_p / \gamma$ — число Стефана, σ_0 — постоянная Стефана–Больцмана.

Входящие в уравнения (7)–(9) безразмерные плотности потоков излучения Φ^\pm ($\Phi = \Phi^+ - \Phi^-$) определяются из решения уравнения переноса излучения в плоском слое излучающей и поглощающей среды с известным распределением температуры по слою.

Широкие возможности в смысле простоты решения и эффективности получения результатов представляет модифицированный метод средних потоков [8]. В рамках этого метода уравнение переноса излучения сводится к системе двух нелинейных дифференциальных уравнений для плоского слоя полупрозрачной среды. Дифференциальный аналог уравнения переноса для полусферических потоков Φ^\pm записывается в виде:

$$\begin{aligned} \frac{d}{d\tau} (\Phi^+(\tau, \eta) - \Phi^-(\tau, \eta)) + (1 - \omega) (m^+(\tau) \Phi^+(\tau, \eta) - m^-(\tau) \Phi^-(\tau, \eta)) &= (1 - \omega) n^2 \Phi_0, \\ \frac{d}{d\tau} (m^+(\tau) l^+(\tau) \Phi^+(\tau, \eta) - m^-(\tau) l^-(\tau) \Phi^-(\tau, \eta)) + (1 - \omega) (\Phi^+(\tau, \eta) - \Phi^-(\tau, \eta)) &= 0. \end{aligned} \quad (11)$$

Граничные условия (5) для системы уравнений (11) учитывают диффузный характер процессов отражения, пропускания и частичного поглощения (излучения) поверхностными слоями границ и в безразмерном виде записываются следующим образом [7]:

$$\begin{aligned} \Phi^+(0, \eta) &= A_1 n^2 \frac{\theta^4(0, \eta)}{4} + D_1 \frac{\theta_1^4}{4} + \left(1 - \frac{1 - R_1}{n^2} \right) \Phi^-(0, \eta), \\ \Phi^-(1, \eta) &= A_2 n^2 \frac{\theta^4(1, \eta)}{4} + D_2 F^* + \left[1 - \frac{1 - R_2}{n^2} - A_2 \left(\frac{1 + n^2}{n^2} \right) \right] \Phi^+(1, \eta). \end{aligned} \quad (12)$$

$$\text{Здесь } \Phi^\pm(\tau, \eta) = \frac{\int_{0^{(-1)}}^{1^{(0)}} I(\tau, \mu) \mu d\mu}{4\sigma_0 T_r^4}, \quad m^\pm(\tau) = \frac{\int_{0^{(-1)}}^{1^{(0)}} I(\tau, \mu) d\mu}{\int_{0^{(-1)}}^{1^{(0)}} I(\tau, \mu) \mu d\mu}, \quad l^\pm(\tau) = \frac{\int_{0^{(-1)}}^{1^{(0)}} I(\tau, \mu) \mu^2 d\mu}{\int_{0^{(-1)}}^{1^{(0)}} I(\tau, \mu) \mu d\mu},$$

I — интенсивность излучения, μ — косинус угла между направлением распространения излучения и осью x , $\tau = \alpha \cdot L(t)/(1 - \omega)$ — оптическая толщина слоя в момент времени t , ω — альbedo однократного изотропного рассеяния. Значения коэффициентов m^\pm , l^\pm определяются из рекуррентного соотношения, полученного с помощью формального решения уравнения переноса излучения [8].

Решения краевой задачи сводится к определению температуры $\theta(\xi, \eta)$ и плотностей потоков результирующего излучения $\Phi(\xi, \eta)$ в области $G = \{0 \leq \xi \leq 1, 0 \leq \eta \leq \eta_1\}$, представляющий собой плоский слой твердой фазы. Положение фронта фазового перехода $s(\eta)$ меняется от 1 до 0. Краевая задача (7)–(10) решается конечно-разностным методом, нелинейная система неявных разностных уравнений — методом прогонки и итераций. При решении радиационной задачи используются итерации, на каждом шаге которых краевая задача (11)–(12) решается методом матричной факторизации. Быстрая сходимость такого метода решения позволяет получать результаты с высокой степенью точности.

Анализ результатов

Ниже представлены результаты численного моделирования процессов нагрева образца из слоя полупрозрачного материала с физическими параметрами: $S_0 = 0,1$ М, $T_1 = 300$ К, $T_2 = 900$ К, $T_f = 1000$ К, $E^* = 200$ кВт; теплофизические свойства материала близки к свойствам флюорита и составляют: $\rho = 2000$ кг/м³, $\lambda = 5$ Вт/(м²К), $a = 10^{-6}$ м²/с; оптические параметры образца: показатель преломления $n = 1,5$, коэффициент объемного поглощения $\alpha = 10$ м⁻¹, коэффициенты отражения $R_{1,2} = 0,1$ и $0,5$, степень черноты $\varepsilon_{1,2} = 0,1$. Значения альbedo однократного рассеяния ω варьируются от 0 до 0,5.

На этапе нагрева образца до температуры плавления (первый этап) коэффициент конвективной теплоотдачи на левой границе составлял $h_1 = 1$ Вт/(м²·град), на правой — $h_2 = 10$ Вт/(м²·град). Данное обстоятельство вызвано тем, что при больших значениях h_1 среда в целом охлаждается и правая граница не достигает температуры фазового перехода. На втором этапе при решении задачи Стефана полагаем $h_1 = 20$ Вт/(м²·град) с тем, чтобы левая граница не достигла температуры фазового перехода. Значение h_2 остается прежним. Целью является определение влияния изотропного рассеяния на процесс плавления полупрозрачной среды.

На рис. 2 представлены температурное поле и поле результирующего радиационного потока излучения в случае нерассеивающей серой среды ($\omega = 0$) с коэффициентами отражения $R_{1,2} = 0,1$. Монотонное увеличение температуры на этапе нагрева образца при приближении температуры правой поверхности к температуре фазового перехода становится немонотонным, с малым перегревом около правой границы (кривая 2, рис. 2а). Здесь и ниже кривые между линиями 1 и 2 относятся к первому этапу задачи — радиационно-кондуктивному теплообмену, и соответствуют положению, когда правая граница достигает значений безразмерной температуры при $\theta(\xi, \eta) = 0,4, 0,6, 0,8, 0,9$ и 1. Кривые между линиями 2 и 3 относятся ко второму этапу — этапу плавления, и соответствуют положению безразмерного фронта фазового перехода $s(t) = 1, 0,7, 0,5$ или 0,3 и финальному положению, до которого идет решение задачи. На втором этапе задачи перегрев образца только усиливается, а его максимум сдвигается к центру образца. Радиационные потоки, имеющие на первом этапе малый градиент по толщине, с началом фазового перехода характеризуются большими перепадами. Среда на данном этапе становится более излучающей (рис. 2б). Более детальное рассмотрение температурного поля в процессе фазового перехода представлено на рис. 2с. С началом второго этапа задачи перегрев

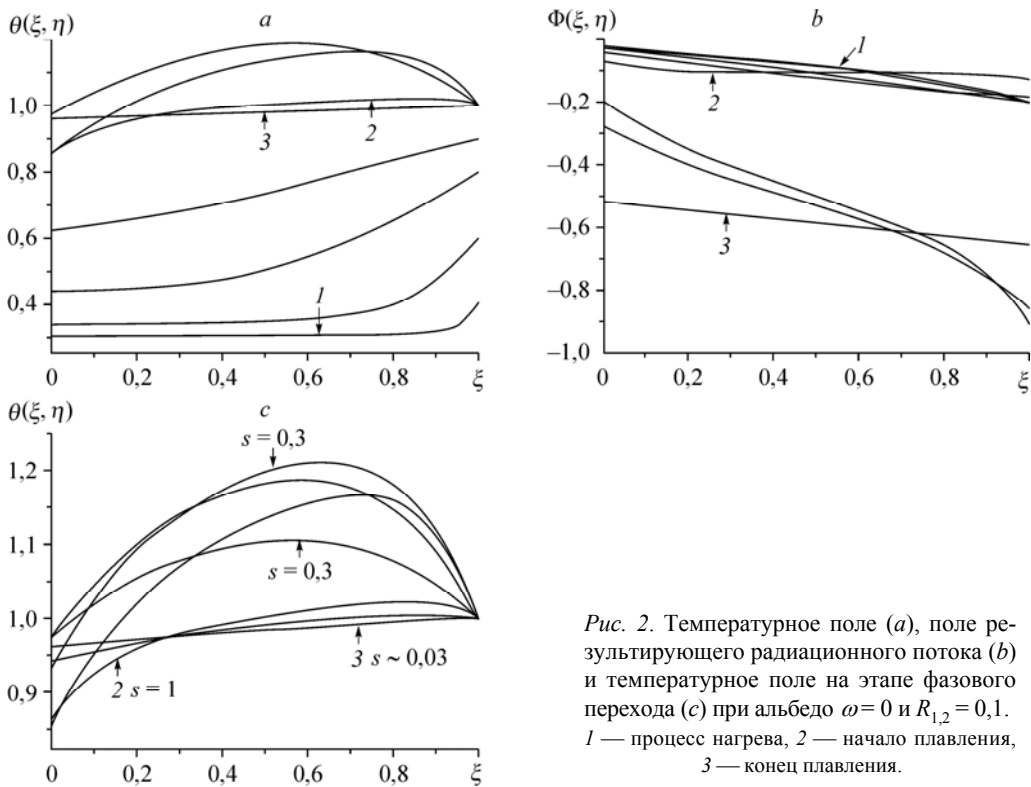


Рис. 2. Температурное поле (а), поле результирующего радиационного потока (б) и температурное поле на этапе фазового перехода (с) при альбедо $\omega = 0$ и $R_{1,2} = 0,1$. 1 — процесс нагрева, 2 — начало плавления, 3 — конец плавления.

резко увеличивается и достигает максимума при положении фронта $s \cong 0,7$. По мере плавления максимум сдвигается к центру и к концу процесса при $s \cong 0,03$ становится стационарным. Это связано не только с высокой пропускательной способностью правой границы ($D_2 = 0,8$), высокой прозрачностью материала, радиационно-кондуктивным параметром $N \cong 0,04$, но также с конвективным потоком на рассматриваемой границе. На втором этапе конвекция меняет направление, и правая граница становится теплопоглощающей.

Наличие слабого рассеяния $\omega = 0,1$ (рис. 3) и более сильного $\omega = 0,5$ (рис. 4) качественно не меняет картину. Она также не меняется при увеличении коэффициента отражения левой границы до значения $R_1 = 0,5$ при $\omega = 0,5$ (рис. 5). При увеличении

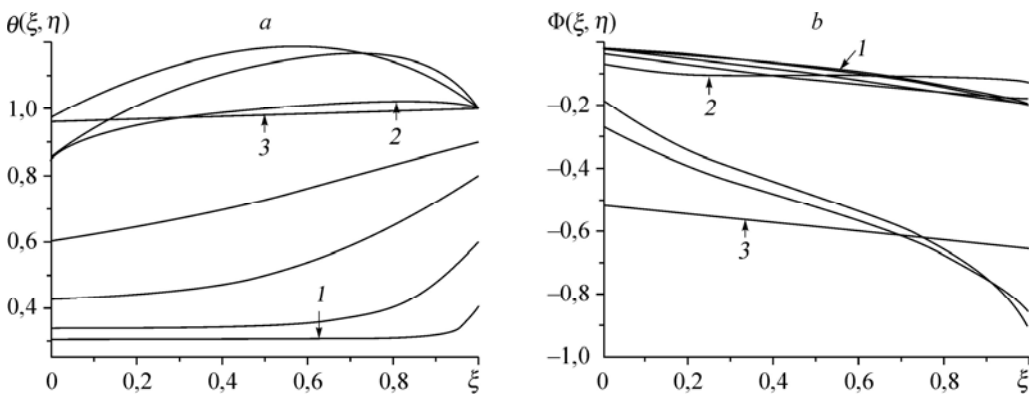


Рис. 3. Температурное поле (а), поле результирующего радиационного потока (б) при альбедо $\omega = 0,1$ и $R_{1,2} = 0,1$.

1 — начало процесса, 2 — начало плавления, 3 — конец плавления.

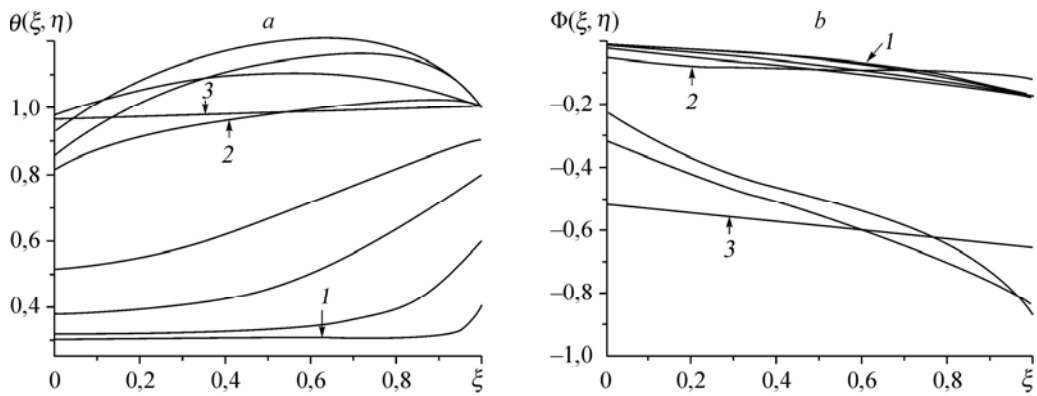


Рис. 4. Температурное поле (а), поле результирующего радиационного потока (b) при альбедо $\omega = 0,5$ и $R_{1,2} = 0,1$.

1 — начало процесса, 2 — начало плавления, 3 — конец плавления.

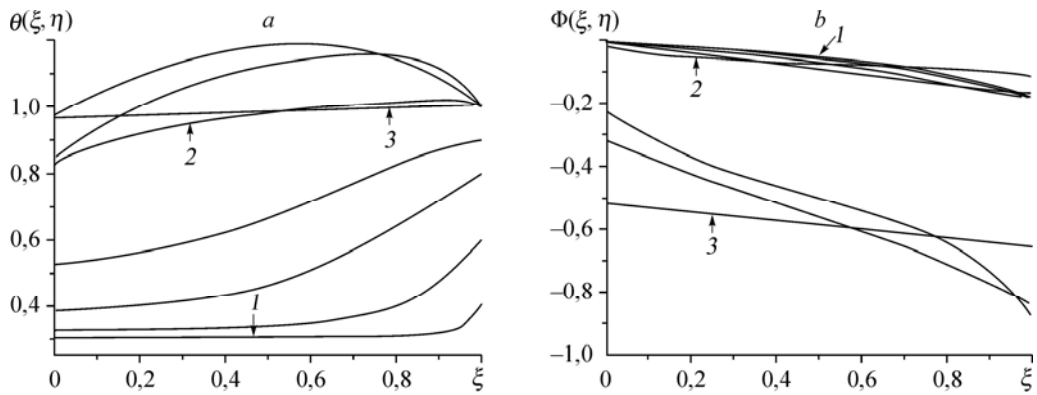


Рис. 5. Температурное поле (а), поле результирующего радиационного потока (b) при альбедо $\omega = 0,5$ и $R_1 = 0,5, R_2 = 0,1$.

1 — начало процесса, 2 — начало плавления, 3 — конец плавления.

отражательной способности правой границы до значения $R_2 = 0,5$, в случае, когда $R_1 = 0,1$ (рис. 6), среда не достигает температуры фазового перехода (рис. 6a) и температура левой границы становится стационарной (рис. 6b). Это обстоятельство связано с уменьшением доли пропускательной способности правой границы.

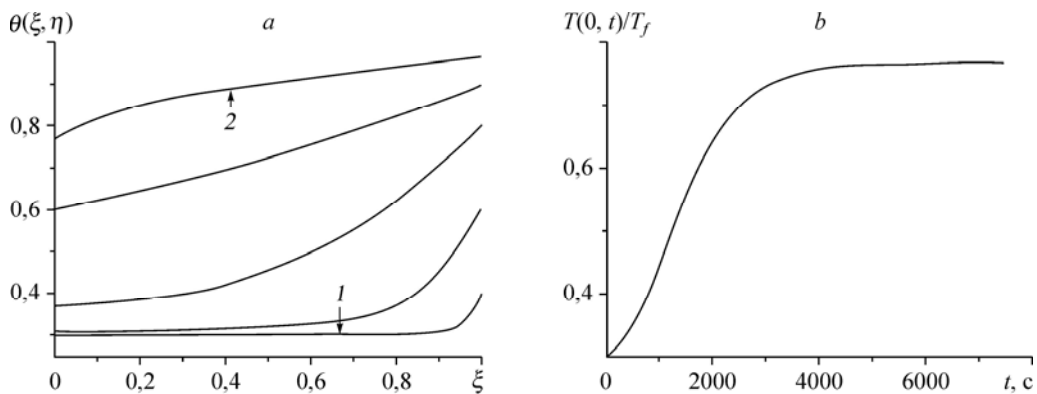


Рис. 6. Температурное поле (а), поле результирующего радиационного потока (b) при альбедо $\omega = 0,5$ и $R_1 = 0,1, R_2 = 0,5$.

1 — начало процесса, 2 — конец процесса.

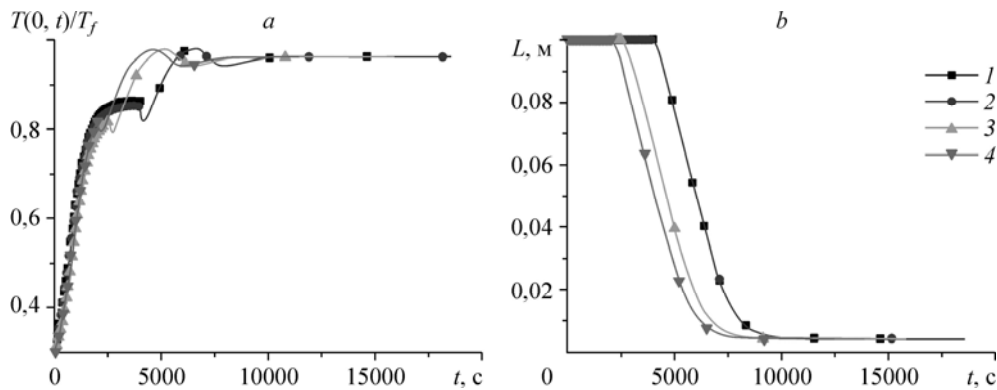


Рис. 7. Рост температуры левой границы (а) и динамика фронта раздела фаз (б) при разных значениях альбеда ω и коэффициенте отражения левой границы R_1 .

$\omega = 0$ (1), 0,1 (2), 0,5 (3), 0,5 (4); $R_1 = 0,1$ (1), 0,1 (2), 0,1 (3), 0,5 (4).

Рост температуры левой границы при разных значениях альбеда однократного рассеяния и коэффициенте отражения R_1 представлен на рис. 7а. Скачок температуры на графиках связан с уменьшением коэффициента теплоотдачи h_1 на втором этапе задачи. В случае нерассеивающей среды и среды со значением $\omega \leq 0,1$ рост температуры практически одинаков и с середины процесса стабилизируется. С увеличением ω процесс роста заметно сокращается. Увеличение отражательной способности левой границы R_1 приводит к еще более сильному сокращению времени, что связано с переизлучением потока на правую границу. Динамика фронта фазового перехода показывает, что с увеличением альбеда время нагрева (пологая линия при $L = 0,1$) заметно сокращается, а сам образец плавится не до конца, устремляясь в асимптотику при $s \cong 0,3$ (рис. 7б).

Выводы

Рассеяние приводит к перераспределению температуры в объеме полупрозрачной среды и за счет этого к сокращению времени нагрева, при этом распределение температуры по толщине заметно не меняется. Происходит своего рода масштабирование задачи в сторону «ужимания» времени. С помощью подбора конвективной теплоотдачи на границах появляется возможность управлять процессом фазового перехода.

Список литературы

1. Le Dez V., Yousefian F., Vaillon R., Lemonnier D., Lallemand M. Probleme de Stefan direct dans un milieu semi-transparent gris // J. Phys. III France. 1996. Vol. 6, No. 3. P. 373–390.
2. Ozisik M.N., Ho C.-H. Combined conduction and radiation in two layer planar medium with flux boundary condition // Numer. Heat Transfer. 1987. Vol. 11, No. 3. P. 321–340.
3. Голова Е.П., Рубцов Н.А. О задаче Стефана для полупрозрачного материала с учетом рассеяния. Новосибирск, 1987. 24 с. (Препринт / АН СССР. Сиб. отд.-ние. Ин-т теплофизики; № 153-87).
4. Бурка А.Л., Рубцов Н.А., Саввинова Н.А. Нестационарный радиационно-кондуктивный теплообмен в полупрозрачной среде с фазовым переходом // Журнал прикл. мех. и техн. физики. 1987. № 1. С. 96–99.
5. Слепцов С.Д., Гришин М.А. Однофазная задача Стефана в полупрозрачной среде с учетом изотропного рассеяния излучения // Мат. 50-й междуна. науч. студ. конф. «Студент и научно-технический прогресс»: Физика неравновесных процессов. Новосибирск: Изд-во НГУ, 2012. С. 39.
6. Слепцов С.Д., Гришин М.А. Влияние изотропного рассеяния на процесс плавления полупрозрачной среды // Тезисы докл. X междуна. конф. молодых ученых «Актуальные вопросы теплофизики и физической гидродинамики». Новосибирск: Изд-во ИТ СО РАН, 2012. С. 34.
7. Рубцов Н.А. К определению граничных условий радиационного теплообмена на плоской поверхности раздела двух сред // Теплофизика и аэромеханика. 2003. Т. 10, № 1. С. 87–102.
8. Рубцов Н.А., Тимофеев А.М., Саввинова Н.А. Комбинированный теплообмен в полупрозрачных средах. Новосибирск: Изд-во СО РАН, 2003. 197 с.

Статья поступила в редакцию 11 ноября 2013 г.